

Nonlinear Hamilton Systems

Modelowanie Komputerowe

Gabriela Godek, Gabriela Białoskórska, Wojciech Kura, Ignacy Tekieli
Fizyka Techniczna III.

Czerwiec 2021

Spis treści

1	Wprowadzenie	2
1.1	Cel pracy	2
1.2	Wstęp teoretyczny	2
1.2.1	Równania Ruchu Hamiltona	2
1.2.2	Poincare section method	3
2	Materiały i Metody	4
2.1	Wiadomości wstępne	4
2.2	Implementacja	4
2.2.1	Hamilton Equations of Motion	4
2.2.2	Heiles - Poicare	5
3	Wyniki	8
3.1	Hamilton Equations of Motion	8
3.2	Heiles - Poincare	8
4	Podsumowanie	9
5	Bibliografia	9

1 Wprowadzenie

1.1 Cel pracy

Celem niniejszego projektu była implementacja kodu w wybranym języku programowania (Python/Cpp), na podstawie przykładowych programów zamieszczonych w książce *"The nonlinear workbook"* (Willi-Hans Steeb, 3rd edition). Wybrany przez nas rozdział książki dotyczył nieliniowych systemów Hamiltona. Na potrzeby projektu napisaliśmy dwa programy: `Hamilton Equations of Motion` (zainspirowany kodem w języku cpp) oraz `Heiles - Poincare` (oparty na programie napisanym w języku Java). Pierwszy z nich zaimplementowaliśmy, podobnie jak autor książki, w Cpp, natomiast w przypadku drugiego posłużyliśmy się językiem Python.

1.2 Wstęp teoretyczny

1.2.1 Równania Ruchu Hamiltona

Rozważmy klasyczny, zamknięty układ fizyczny z trzema stopniami swobody (na przykład N cząstek w trójwymiarowym pudle.) Stan takiego układu w pełni określa zbiór $6N$ niezależnych zmiennych rzeczywistych (gdzie: $p^N = (p_1, p_2, \dots, p^N)$, $q^N = (q_1, q_2, \dots, q^N)$, odpowiednio p_j i q_j oznaczają pęd i położenie i -tej cząstki.) Jeśli wektor stanu $X^N = X^N(p^N, q^N)$ jest znany w danej chwili czasu, wówczas jest również określony dla innego, dowolnego momentu (zgodnie z Prawami Newtona.) Jeśli dla powyższego układu możemy zdefiniować funkcję Hamiltona $H(X, t)$, ewolucja wartości p_j oraz q_j w czasie wyraża się **Równaniami Ruchu Hamiltona**:

$$\frac{dp_j}{dt} = -\frac{\partial H}{\partial q_j}$$
$$\frac{dq_j}{dt} = \frac{\partial H}{\partial p_j}$$

Jeżeli funkcja Hamiltona nie zależy wyraźnie od czasu, wówczas jest stałą ruchu:

$$H(X^N) = E$$

gdzie E jest całkowitą energią układu (nazywanym w tym przypadku *zachowawczym*.) Jeśli powiązemy ten układ z przestrzenią fazową, wówczas wektor stanu $X^N = X^N(p^N, q^N)$ określa punkt w przestrzeni fazowej, a w miarę upływu czasu wyznacza w niej trajektorię. W przestrzeni fazowej nie może dojść do przecięcia się dwóch trajektorii; w przeciwnym wypadku nie można byłoby jednoznacznie określić późniejszego ruchu trajektorii. Wobec tego:

$$\frac{dq_{11}}{\frac{\partial H}{\partial p_{11}}} = \frac{dq_{12}}{\frac{\partial H}{\partial p_{12}}} = \frac{dq_{13}}{\frac{\partial H}{\partial p_{13}}} = \frac{dq_{21}}{\frac{\partial H}{\partial p_{21}}} = \dots = \frac{dp_{11}}{-\frac{\partial H}{\partial q_{11}}} = \dots = \frac{dp_{N3}}{-\frac{\partial H}{\partial q_{N3}}} = dt$$

Ten wzór dostarcza nam $6N - 1$ równań, zachodzących pomiędzy współrzędnymi przestrzeni fazowej, które po rozwiązaniu dają nam $6N - 1$ całek ruchu:

$$f_j(X^N) = C_j$$

gdzie C_j jest stałą. Powyższe całki ruchu można podzielić na dwa rodzaje: *isolating* i *nonisolating*. 'Isolating integrals' definiują całą powierzchnię w przestrzeni fazowej i są szczególnie ważne w teorii ergodycznej, podczas gdy 'Nonisolating integrals' nie definiują powierzchni i są aż tak nieistotne. Jednym z głównych problemów ergodiki jest określenie, ile 'Isolating integrals' charakteryzuje dany układ. Przykładem takiej całki jest energia całkowita. Dla cząstek N w pudełku jest to prawdopodobnie jedyna taka całka.

Rozważmy szczególny przypadek funkcji Hamiltona ($H : R^4 \rightarrow R$) z dwoma stopniami swobody:

$$H(p, q) = \frac{1}{2}(p_1^2 + p_2^2) + V(q_1, q_2)$$

Równania ruchu Hamiltona dane są wzorami:

$$\begin{aligned} \frac{dq_j}{dt} &= \frac{\partial H}{\partial p_j} = p_j \\ \frac{dp_j}{dt} &= -\frac{\partial H}{\partial q_j} = -\frac{\partial V}{\partial q_j} \end{aligned}$$

gdzie $j = 1, 2$. Wykorzystując model Henona-Heilesa mamy:

$$H(p, q) = \frac{1}{2}(p_1^2 + p_2^2 + q_1^2 + q_2^2) + q_1 q_2 - \frac{1}{3} q_2^3$$

Wobec tego znajdujemy:

$$\begin{aligned} \frac{dq_1}{dt} &= p_1 \\ \frac{dq_2}{dt} &= p_2 \\ \frac{dp_1}{dt} &= -q_1 - 2q_1 q_2 \\ \frac{dp_2}{dt} &= -q_2 - q_1^2 + q_2^2 \end{aligned}$$

1.2.2 Poincare section method

Poincare section method, inaczej zwane *Surface-of-section method* ma szczególne zastosowanie w układach Hamiltona z dwoma stopniami swobody. W metodzie tej dochodzi do przechodzenia trajektorii przez powierzchnię przecinającą powłokę energetyczną, np. (p_2, q_2) w punkcie $q_1 = 0$.

2 Materiały i Metody

2.1 Wiadomości wstępne

Poniższe projekty, w oparciu o opisane zjawiska, powstały na podstawie programów umieszczonych w książce *"The nonlinear workbook"* (Willi-Hans Steeb, 3rd edition). Pierwszy z nich (Hamilton Equations of Motion) został napisany w języku Cpp, z tą jednak różnicą, że w oryginalnym programie zawartym w książce błędnie opisane zostały ścieżki plików, co naprawiono. Drugi program (Heiles - Poincare) zaimplementowano w języku Python, na podstawie zamieszczonego w książce kodu w Java. W tym celu wykorzystano bibliotekę `Matplotlib`.

2.2 Implementacja

2.2.1 Hamilton Equations of Motion

Poniższy kod umożliwia obliczenie pochodnych, wyprowadzonych we wstępie teoretycznym (dq_1/dt , dq_2/dt , dp_1/dt , dp_2/dt).

Implementacja:

```
// hamiltoneq.cpp

#include <iostream>
#include "headers/symbolicc++2.h"
using namespace std;

int main(void)
{
    Symbolic h("h"), q1("q1"), q2("q2"), p1("p1"), p2("p2"),
    pt1, pt2, qt1, qt2;

    // Hamiltonian
    h = (p1*p1+p2*p2+q1*q1+q2*q2)/2+q1*q1*q2-q2*q2*q2/3;
    // R wnanie ruchu Hamiltona
    pt1 = -df(h,q1); pt2 = -df(h,q2);
    qt1 = df(h,p1); qt2 = df(h,p2);

    cout << "dp1/dt = " << pt1 <<endl;
    cout << "dp2/dt = " << pt2 <<endl;
    cout << "dq1/dt = " << qt1 <<endl;
    cout << "dq2/dt = " << qt2 <<endl;

    return 0;
}
```

2.2.2 Heiles - Poicare

Poniższy kod umożliwia oszacowanie powierzchni przekroju dla energii $E = 1/12$, dla dwóch różnych warunków początkowych. Warunki początkowe mają następującą postać:

$$q_1(t=0) = \frac{1}{\sqrt{8}} \quad (1)$$

$$q_2(t=0) = 0 \quad (2)$$

$$p_1(t=0) = 0 \quad (3)$$

$$p_2(t=0) = \frac{1}{\sqrt{24}} \quad (4)$$

oraz

$$q_1(t=0) = 0 \quad (5)$$

$$q_2(t=0) = 0 \quad (6)$$

$$p_1(t=0) = \frac{1}{\sqrt{6}} \quad (7)$$

$$q_2(t=0) = 0 \quad (8)$$

Znajdujemy dwie niezmiennicze krzywe. Program `mainHHH.py` jest głównie odpowiedzialny za rysowanie wykresów, natomiast `HenonHeiles.py` oblicza opisane we wstępie funkcje.

Implementacja:

```
mainHHH.py
```

```
from matplotlib import pyplot
from scipy import *
from numpy import *
```

```
from HenonHeiles import *
```

```
t = linspace(0, 100.0, 1000)
print ("Wielkosc kroku " + str(t[1]-t[0]))
```

```
# Cztery warunki poczatkowe dla E = 1/12 w układzie Henona-Heilesa
init_cons = [array([0.0, 0.5, 0.0, 0.0]),\
              array([0.408248, 0.0, 0.0, 0.0]),\
              array([0.0, 0.0, 0.408248, 0.0]),\
              array([0.0, 0.0, 0.0, 0.408248])\
              ]
```

```
outs = list()
```

```

for con in init_cons:
    outs.append(rungekutta4(punkt, t, con))

# Rysowanie wyników
fig1 = figure(1)
for ii in xrange(4):
    subplot(2, 2, ii+1)
    plot(outs[ii][:,1], outs[ii][:,3])
    ylabel("py")
    xlabel("y")
    title("Pelna trajektoria")

fig1.suptitle('Pelna trajektoria przy E = 1/12', fontsize=20)

fig2 = figure(2)
for ii in xrange(4):
    subplot(2, 2, ii+1)
    xcrossings = punkt0(outs[ii][:,0])
    yints = [.5*(outs[ii][cross, 1] + outs[ii][cross+1, 1])
    for cross in xcrossings]
    pyints = [.5*(outs[ii][cross, 3] + outs[ii][cross+1, 3])
    for cross in xcrossings]
    plot(yints, pyints, '. ')
    ylabel("py")
    xlabel("y")
    title("Poincare")

fig2.suptitle('Poincare E = 1/12', fontsize=20)

show()

```

```

HenonHeiles.py

from matplotlib.pyplot import *
from scipy import *
from numpy import *

# Wykorzystanie algorytmu Rungego–Kutty 4. rzędu
def rungekutta4 (yprime, time, y0):
    # yprime to lista funkcji, y0 to lista wartosci dla y
    # time to lista wartosci t z generowanymi wartosciami

    N = len(time)

    y = array([thing * ones(N) for thing in y0]).T

    for ii in xrange(N - 1):
        dt = time[ii + 1] - time[ii]
        k1 = dt * yprime(y[ii], time[ii])
        k2 = dt * yprime(y[ii] + 0.5 * k1, time[ii] + 0.5 * dt)
        k3 = dt * yprime(y[ii] + 0.5 * k2, time[ii] + 0.5 * dt)
        k4 = dt * yprime(y[ii] + k3, time[ii + 1])
        y[ii + 1] = y[ii] + (k1 + 2.0 * (k2 + k3) + k4) / 6.0

    return y

# warpar – wartosci par
# twar = wartosci czasu
def enrgia(warpar):
    (x, y, px, py) = tuple(warpar)
    return .5 * (px ** 2 + py ** 2) + .5 * (x ** 2 + y ** 2 + 2.
    * x ** 2. * y - (2.0 / 3) * y ** 3)

def punkt(warpar, twar):
    # zwraca pary (x,y) dla Henona–Heilesa Hamiltonianu
    (x, y, px, py) = tuple(warpar)
    return array([px, py, -x - 2 * x * y, -y - x * x + y * y]).T

def punkt0(data):
    # znajduje indeksy gdzie punkty przecinaja sie w zerze
    p0 = list()
    for ii in xrange(len(data) - 1):
        if (data[ii] > 0) & (data[ii + 1] < 0):
            p0.append(ii)
        if (data[ii] < 0) & (data[ii + 1] > 0):
            p0.append(ii)
    return array(p0)

```

3 Wyniki

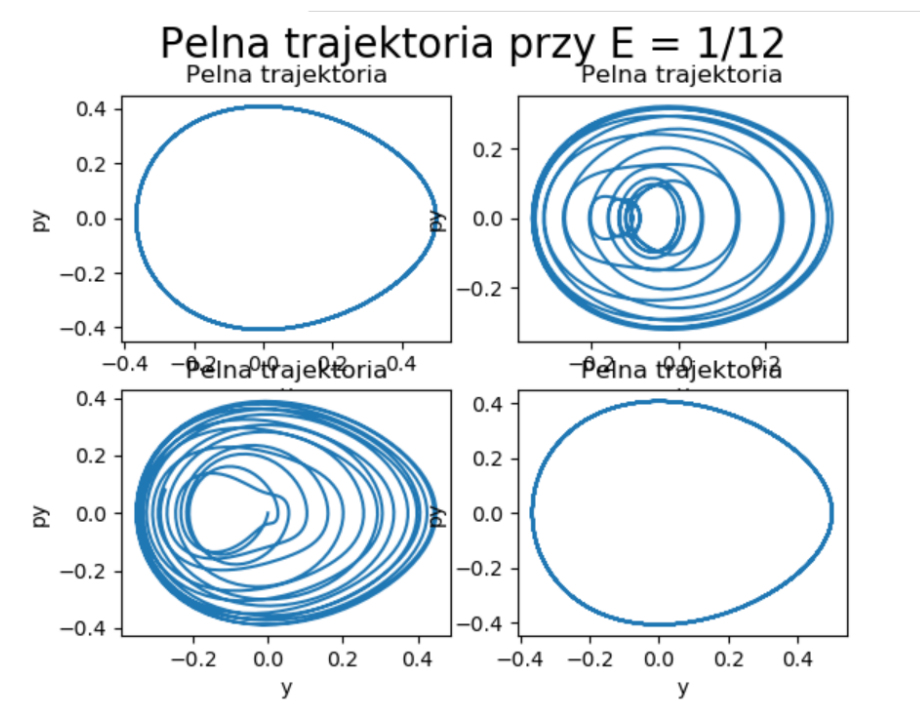
3.1 Hamilton Equations of Motion

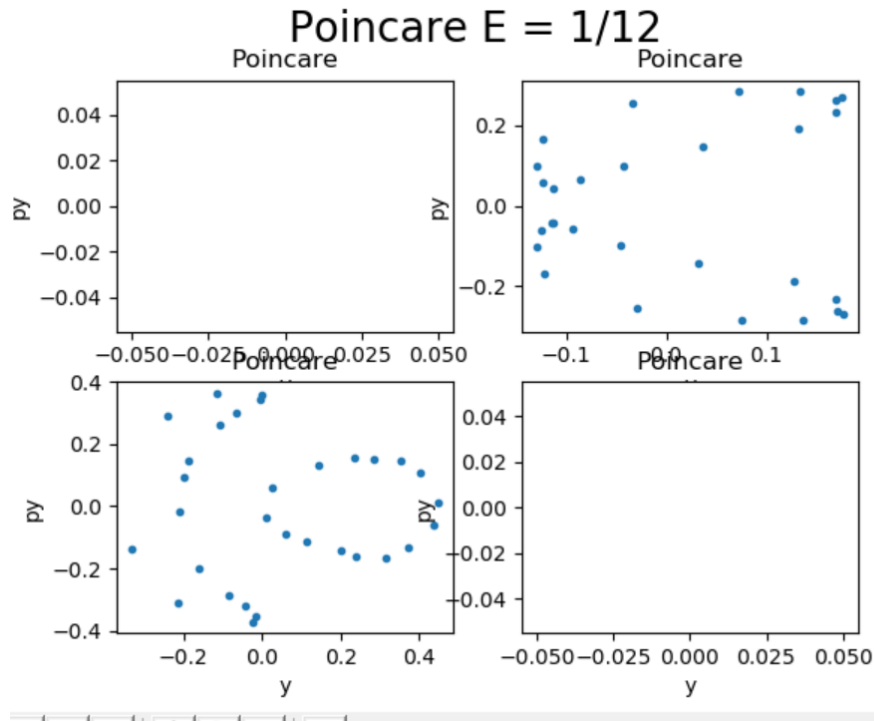
Otrzymane wartości pochodnych wyglądają następująco:

```
[Running] cd "c:\Users\straz\Documents\cpp\" && g++ hamiltoneq.cpp -o h  
dp1/dt = -q1-2*q1*q2  
dp2/dt = -q2-q1^(2)+q2^(2)  
dq1/dt = p1  
dq2/dt = p2  
[Done] exited with code=0 in 9.323 seconds
```

3.2 Heiles - Poincare

Otrzymane wizualizacje wyników wyglądają następująco:





4 Podsumowanie

W projekcie wykonano dwa programy, oparte na kodach źródłowych zamieszczonych w literaturze. Pierwszy z nich (Hamilton Equations of Motion), napisany w języku Cpp, prawidłowo oblicza wartości pochodnych, opisanych we wstępie teoretycznym. Drugi natomiast (Heiles - Poincare), napisany w języku Python, zawiera dwa osobne programy. `mainHHH.py` umożliwia użytkownikowi otrzymanie wartości samych funkcji, `HenonHeiles.py` natomiast narysowanie trajektorii. Również działają one w sposób prawidłowy. Kod został czytelnie opisany, aby krok po kroku można było śledzić jego działanie.

5 Bibliografia

Literatura wykorzystana do napisania programów oraz wstępu:

- "The nonlinear workbook" - Willi-Hans Steeb, 3rd edition
Chapter 4 - *Nonlinear Hamilton Systems*